

鉛直流体層における熱対流の実験

阪府大工 脇谷俊一 (Shunichi Wakitani)

§1. はじめに

水平流体層における熱対流 (Bénard問題) のカオスに至る過程については、数多くの精しい実験が行われ、その機構が明らかにされつつある (Gollub & Benson, 1980)。

一方、大きさ aspect 比 $h (= l/d)$, l : 流体層高さ, d : 両壁間隔) の、異なる温度 ($T_h > T_c$) の鉛直二壁間に起る熱対流の実験は、Eckert & Carlson (1961), Elder (1965a, b) による先駆的な研究によってその流れの特性が調べられはしたが、その後の多くは熱伝達等の測定といった工学的な面に主眼がおかれ、今のこところカオス化の過程等の精しい測定に関してはほとんど皆無と言えよう。

Elder (1965a) は、高 Prandtl 数 ($Pr = 1000$) 流体では Rayleigh 数 $Ra (= g\beta d^3 \Delta T / \nu \kappa)$, g : 重力加速度, β : 体膨張係数, ΔT : 両壁の温度差 $T_h - T_c$, ν : 動粘性係数, κ : 温度伝導率) が臨界値を

を超えると unicellular 対流が、stationary mode の擾乱の成長によつて（）小さな multicellular 対流 (secondary flow) に変化し、さらにつれて Ra 数の増加によつて secondary cell (瘤) の間に tertiary motion が形成されることが示していゝ。また Elder (1965b) は、水 ($Pr \approx 7$) の対流実験では secondary flow の出現を経ずに、境界層での travelling mode の擾乱の成長から乱流に移行するを見出している。これと同様な結果は Oshima (1971) による安定性の実験によっても得られている。実験ではいづれも流体層の高さの有限性のために、流体層内に鉛直温度勾配が形成され、極端に大きな aspect 比の流体層でない限り、水を用いた実験では、stationary mode に先行して travelling mode の擾乱が（）低い Ra 数で不安定となる (Mizushima & Gotoh 1976; Bergholtz 1978)。

Chen & Thangam (1985) は、強い温度依存性の粘性を持つグリセリン水溶液（両壁の平均温度に基づく $Pr \approx 150 \sim 800$ ）の対流の不安定性を調べ、 Pr 数が大きくなるに従つて multicellular 対流の発生する臨界 Ra 数 (R_{ac}) がわずかに減少し、約 $> R_{ac}$ の Ra 数では境界層に発生する travelling mode の擾乱によつて cellular パターンが崩壊していくことを観察している。しかししながら、十分な定量的測定はなされていない。

今回ここで紹介する結果は、multicellular 対流から、Ra 数の

増加につれて、流れ場にかかる
非定常性が出現し、かかる過程
を経てカオスに移行していくかを
明らかにするための第一段階として
おこなった実験結果であることを
付記しておくたい。なお、座標系
を図1のようにしてみる。

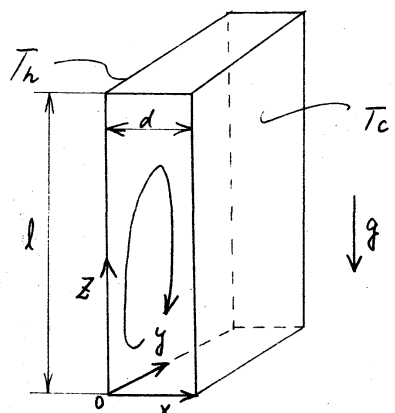


図1 座標系

2 実験装置

対流は高さ $l = 30\text{ cm}$ 、幅 $d = 1.5\text{ cm}$ 、奥行き 15 cm の垂直スロット ($h=20$) 内で形成される。図2に示すようにスロットは、厚さ 5 mm の2枚の銅板の鉛直壁と厚さ 8 mm のガラスフレームから構成されている。低温および高温壁は、2台の恒温循環装置からの水を、両壁のスロット外側に設けた水槽に循環させるることによって所定の温度に設定される。これら2つの水槽は、それぞれ図に示すように5個の流路に分割されており、各流路の流量を調節することによって壁温は 0.1°C 以内の精度で一定に保たれる。

両壁温 T_h, T_c は、壁に埋め込んだ各々 9本のシース熱電対 (C-C、シース外径 1 mm) によつて測定される。壁温測定位置は、中心線上 ($y = 7.5\text{ cm}$) の高さ $z = 3, 7, 11, 15, 19, 23, 27\text{ cm}$

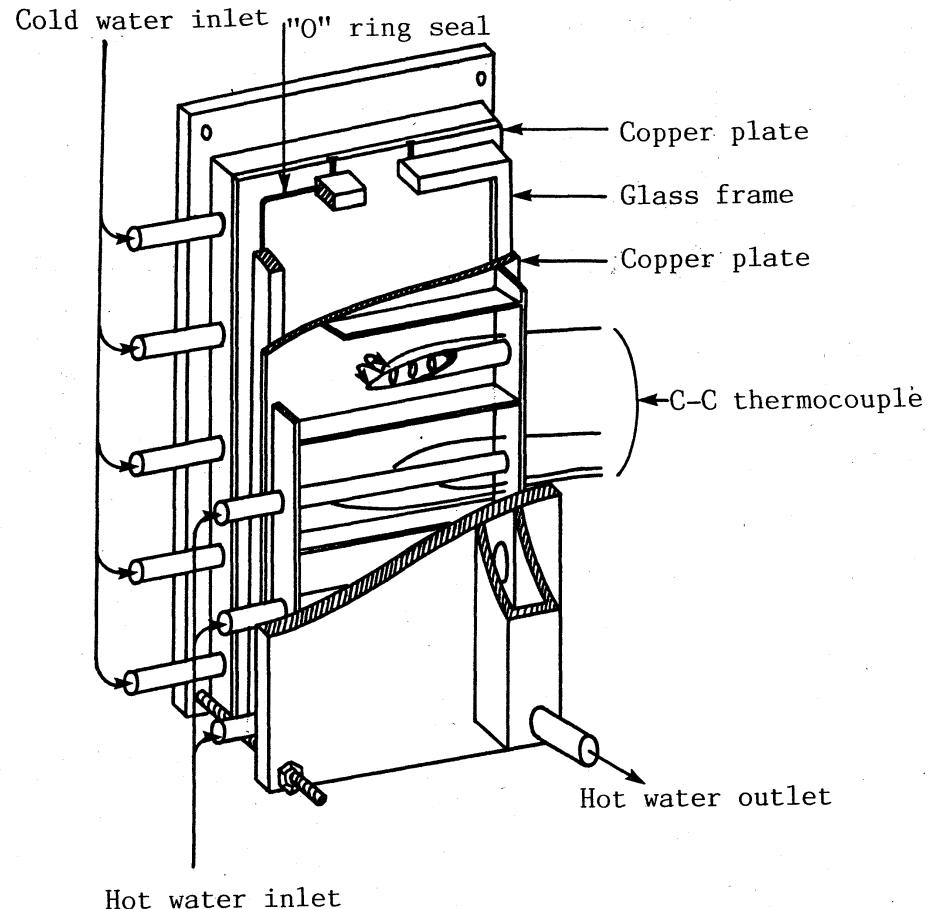


図2 実験装置

レ、 $Z = 15 \text{ cm}$ の 2 点、 $\bar{x} = 3.5, 11.5 \text{ cm}$ である。

スロット内流体の温度は素線径 $25 \mu\text{m}$ の C-A 熱電対から 37°ローブ を上部からスロット内に挿入することにより測定される。予備実験から温度分布の 2 次元性は十分実現されたことが分った。以後の結果は特に断わらない限り $\bar{x} = 7.5 \text{ cm}$ で測定されたものである。

使用した流体は $Pr \approx 140$ および 1000 のシリコンオイルである。

15mW He-Ne レーザを用いたレーザライトシート法により流れ場を可視化した。トレーサ粒子にはアルミナを用いた。

§3 実験結果と議論

§3.1 温度分布

種々のスロット幅直位置での温度分布 $\theta = (T - T_0) / \Delta T$ を図3に示す。ただし、 θ_m はスロット中心 ($X/d = 0.5$) における θ の値である。Elder (1965a)によれば図3(a)は Transition regime、(b)は boundary-layer regime に相当する温度分布である。(b)は大きな鉛直温度勾配が形成されていることが伺える。なお、 $Ra \approx 10^6$ での温度波形は10分程度の周期を持つゆるやかな振動が現れはじめた。

図4は、スロット中心高さ ($Z/l = 0.5$) における温度分布を、系全体に鉛直温度勾配を課して得られる $n \rightarrow \infty$ の温度分布の解 (図中の点線、Bergholtz, 1978) と比較したものである。ここで、 $\gamma = (CRa/4)^{1/4}$ は成層パラメータである。ただし、 $C = sd/\Delta T$ は無次元鉛直温度勾配、 s は温度勾配である。温度分布の測定結果は $\gamma = 7.5 \sim 9$ に相当するものである。これが boundary-layer regime に対応する分布ではあるが、境界層の厚さは理論子)を大きくするために出ている。この傾向は低温側子)で著しくなるが、全体としては理論解は実験値をよく再

現していえると言えます。

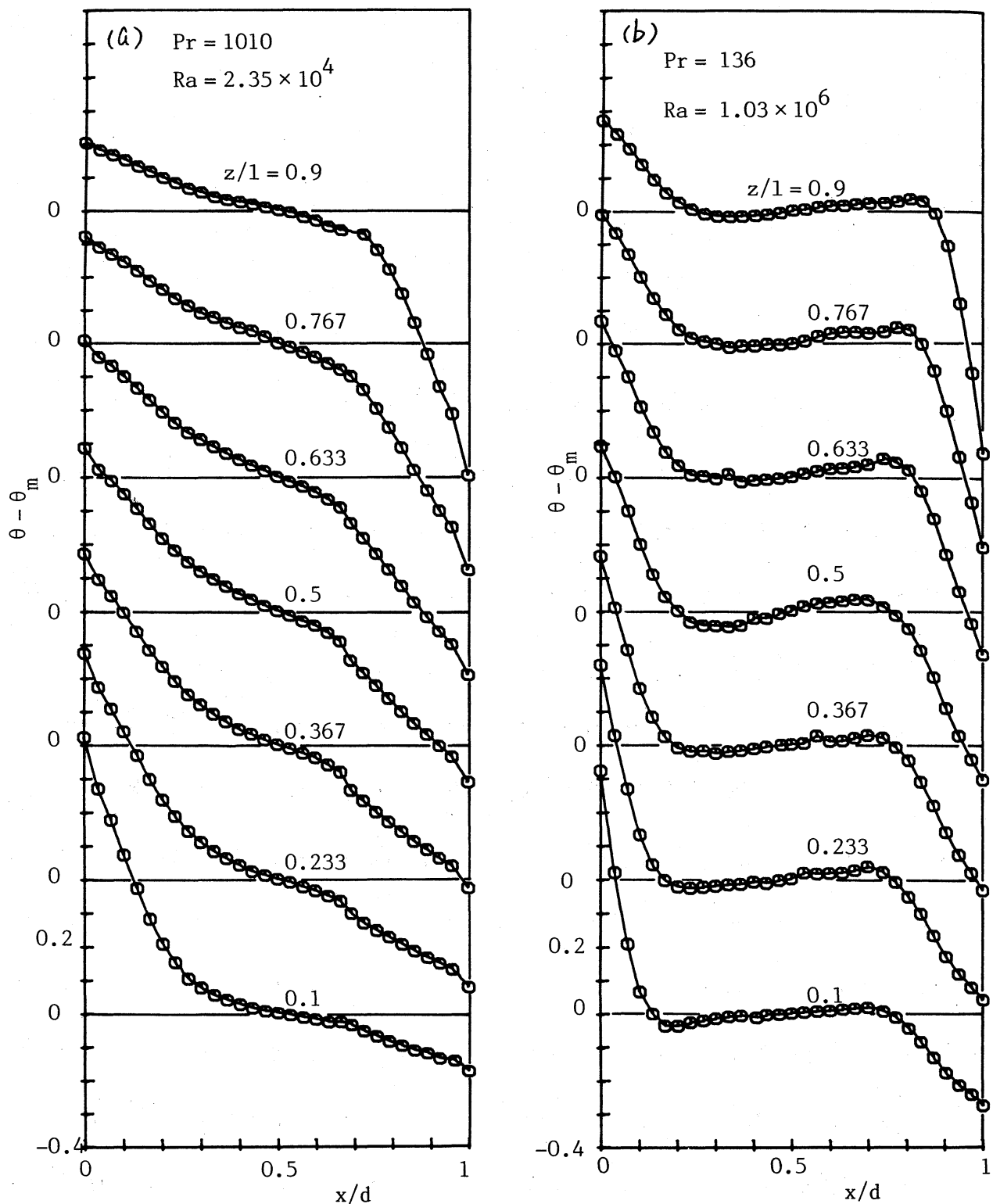


図3 温度分布

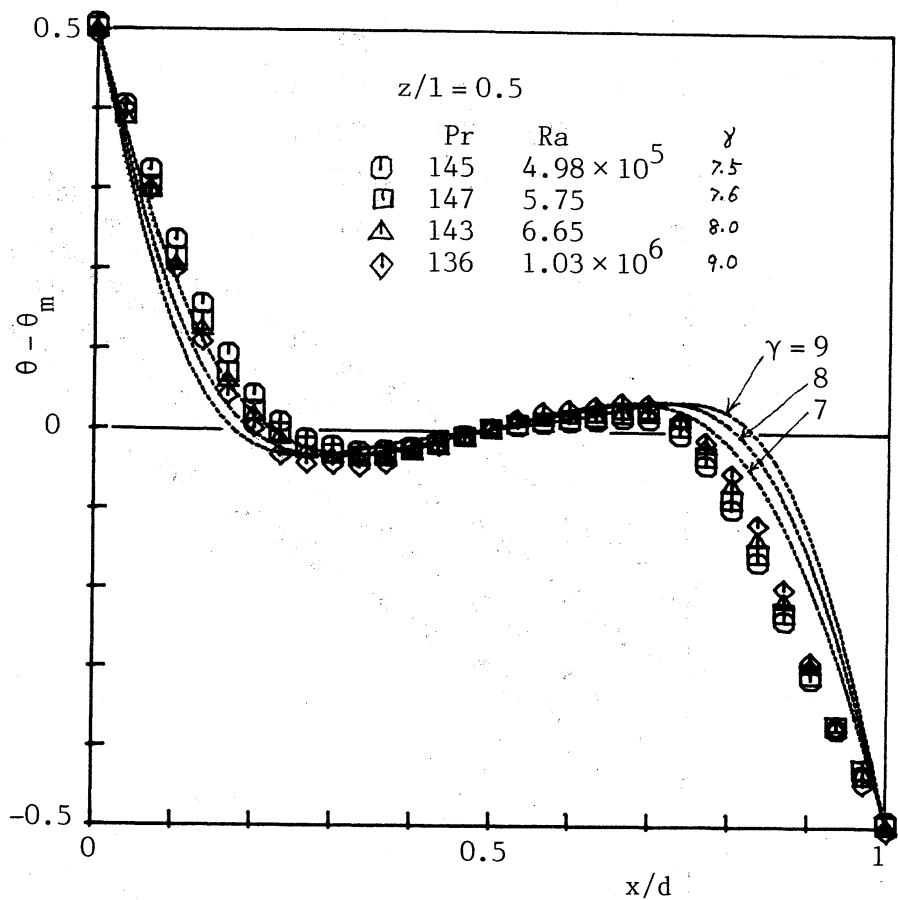


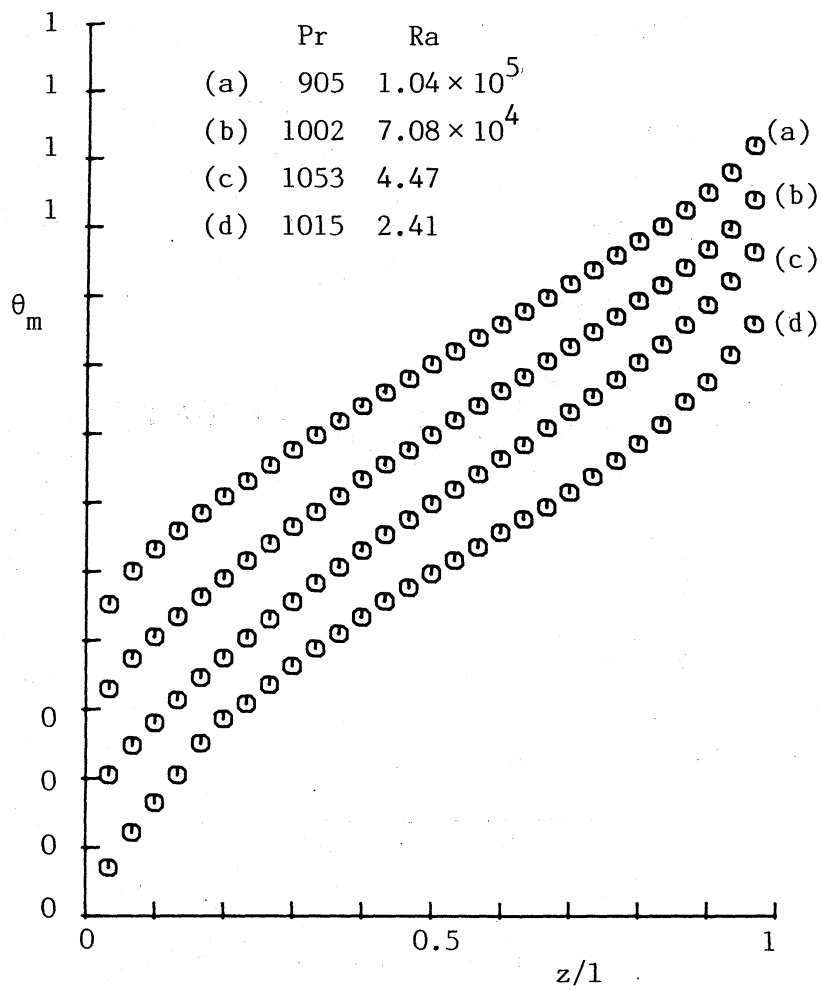
図4 温度分布の比較

3.2 鉛直温度勾配

図5～7にスロット高さによる中性($x/d = 0.5$)における温度の変化を示す。図5、6の右々のRa数ごとの温度プロットでは、上下付近を除いてはほぼ一定の勾配を持つことが分かる。

図5(a)-(d) および 6(d) はいずれ unicellular 対流である。一方、

図6(a)、7(a)(b) では明確な secondary flow が観察でき、multicellular 対流となる。左より、図7では振動している温度の最小値、最大値をプロットした。この図から、スロット上下端付

図5 中心 ($x/d = 0.5$) 温度

近よりたましき中央部分で温度変動が大きいことが明らかである。

スロット上下端付近を除く ($0.3 \leq z/l \leq 0.7$) 温度データから求められた勾配 $d\theta_m/d(z/l) = sl/\sigma T = ch$ と Ra 数との関係を図8に示す。 $Ra < 10^5$ (transition regime) の時は、Elder (1965a) とはかねての違った結果が得られる。本結果は $Ra \approx 2.5 \times 10^4$ 附近において、 $Ra > 10^5$ (boundary-layer

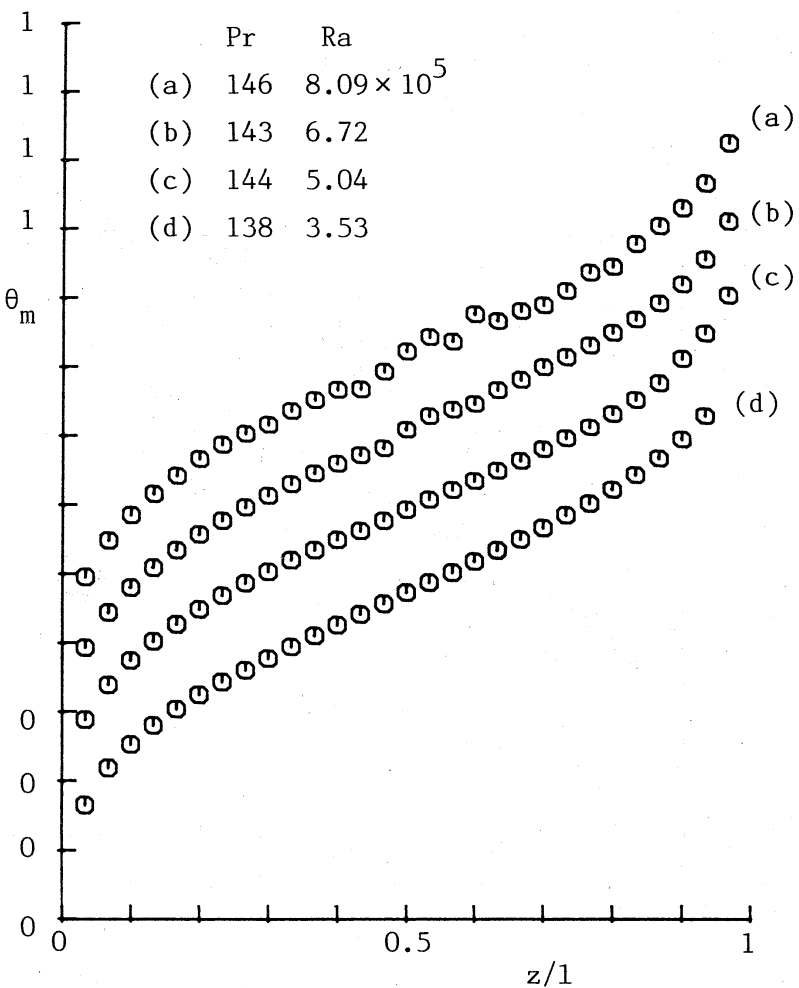
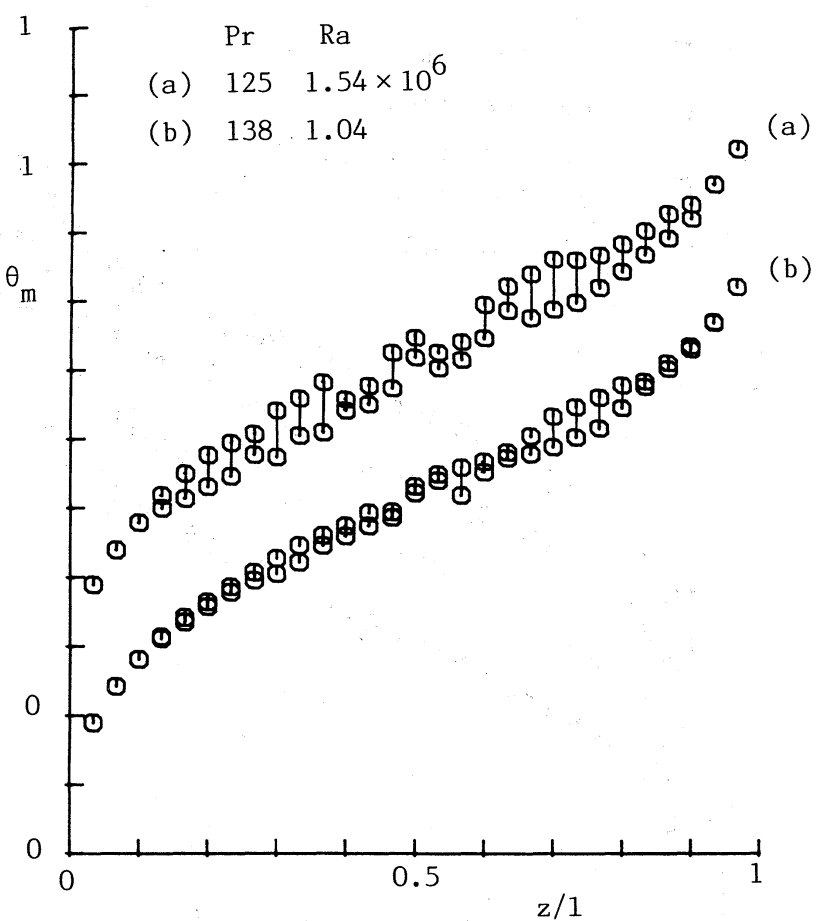


図 6 中心 ($x/d = 0.5$) 温度

regime) の領域と同じ $zh \approx 0.5$ の温度勾配を持つ(1)3。Hart (1971) は $zh = 0.6$ という結果を得ているが、本実験では、 $Ra > 10^5$ に限れば、Elder の結果に近い。しかししながら、Elder の実験ではスロット上端が open である。このことが $Ra < 10^5$ で本実験結果と異なる原因とも考えられる。

図 7 中心 ($x/d = 0.5$) 温度

§ 3.3 温度場の非定常性

図 9 に $x/d = 0.5$, $z/l = 0.5$ の位置で記録された温度波形を示す。前述したように、 $Ra \approx 10^6$ 付近で 10 分程度の周期の温度変動が測定されている。しかしながらその周期性は必ずしも良いとはいえない。図から明らかのように、Ra 数の増加とともに、変動は大きくなる。(a) では (c) の約 2 倍の周期となる。しかし方形波に近い波形である。温度の変化は急激に起つところ。

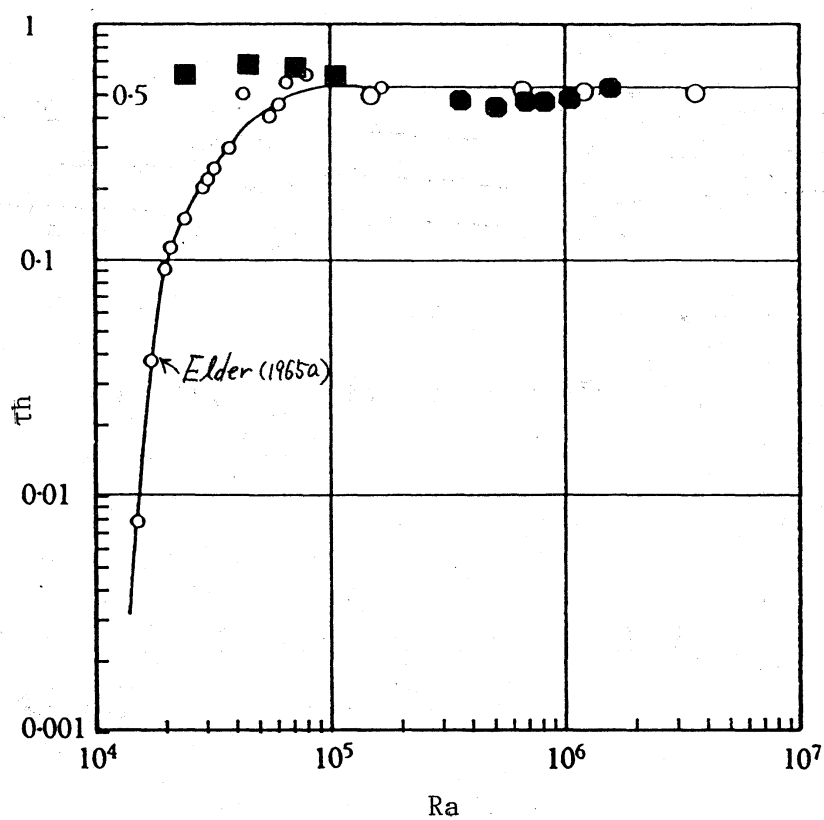
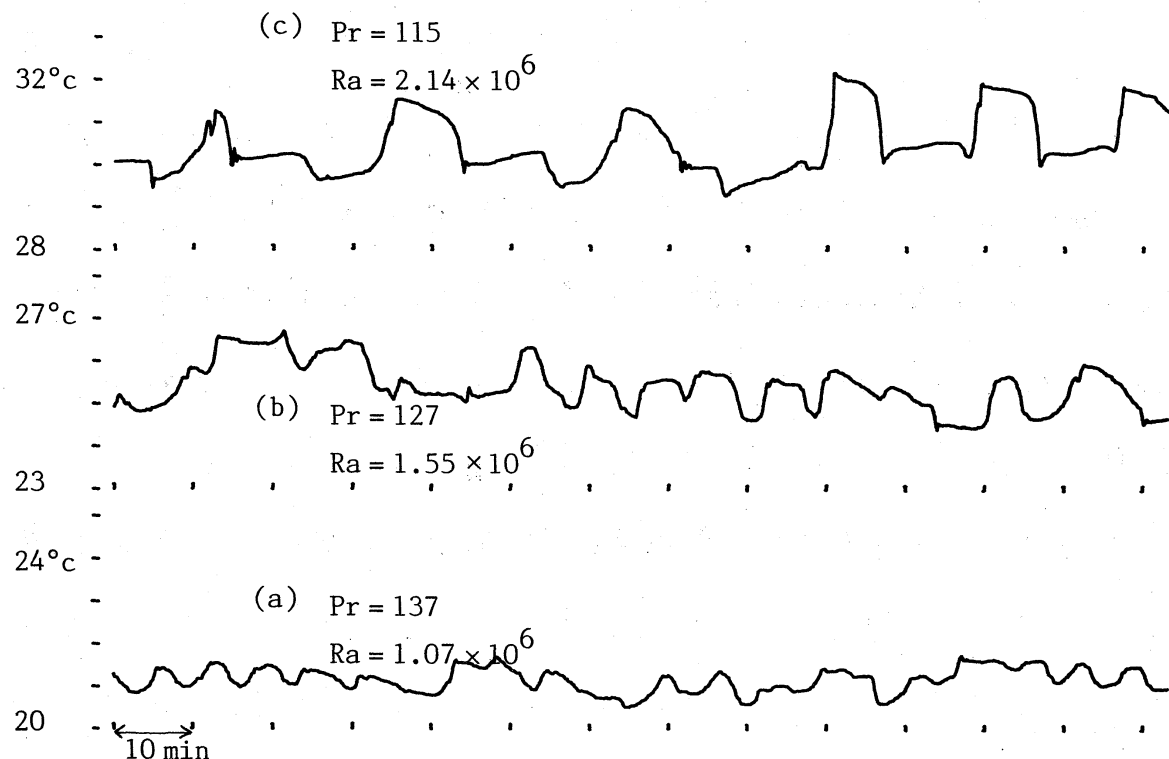
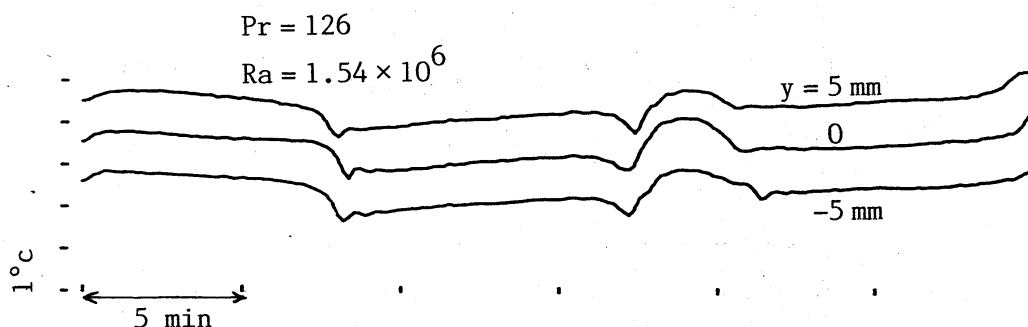


図8 鋼直温度勾配

図9 温度波形 ($x/d = 0.5$, $z/l = 0.5$)

図 10 温度波形 ($x/d = 0.5, z/l = 0.5$)

異なる位置での温度変動の同時記録の結果を図10に示す。この図は、温度変動が必ず2次元的であることを示している。

3.3.4 流れの可視化

図11に臨界Ra数(Rac)付近の可視化写真を示す(露出時間15s)。図11(a)では unicellular であるのに對し、(b)では弱い secondary flow による渦がスロット中央部で出現している。(c)は明らかに multicellular 流れである。これら2の可視化写真から、 $\text{Pr} \approx 150$ では $Rac \approx 5 \times 10^5$ と分かる。さきほどの前述の温度振動は $Ra \approx 2Rac$ ではじめていることになる。

この臨界値を線形安定理論(Bergholtz 1978)の結果と比較したものと図12に示す。理論の臨界 Grashof 数 $Grc (= Rac/\text{Pr})$ は少しあり高めの値が得られておりと考えられるが、一応参考結果と言えよう。

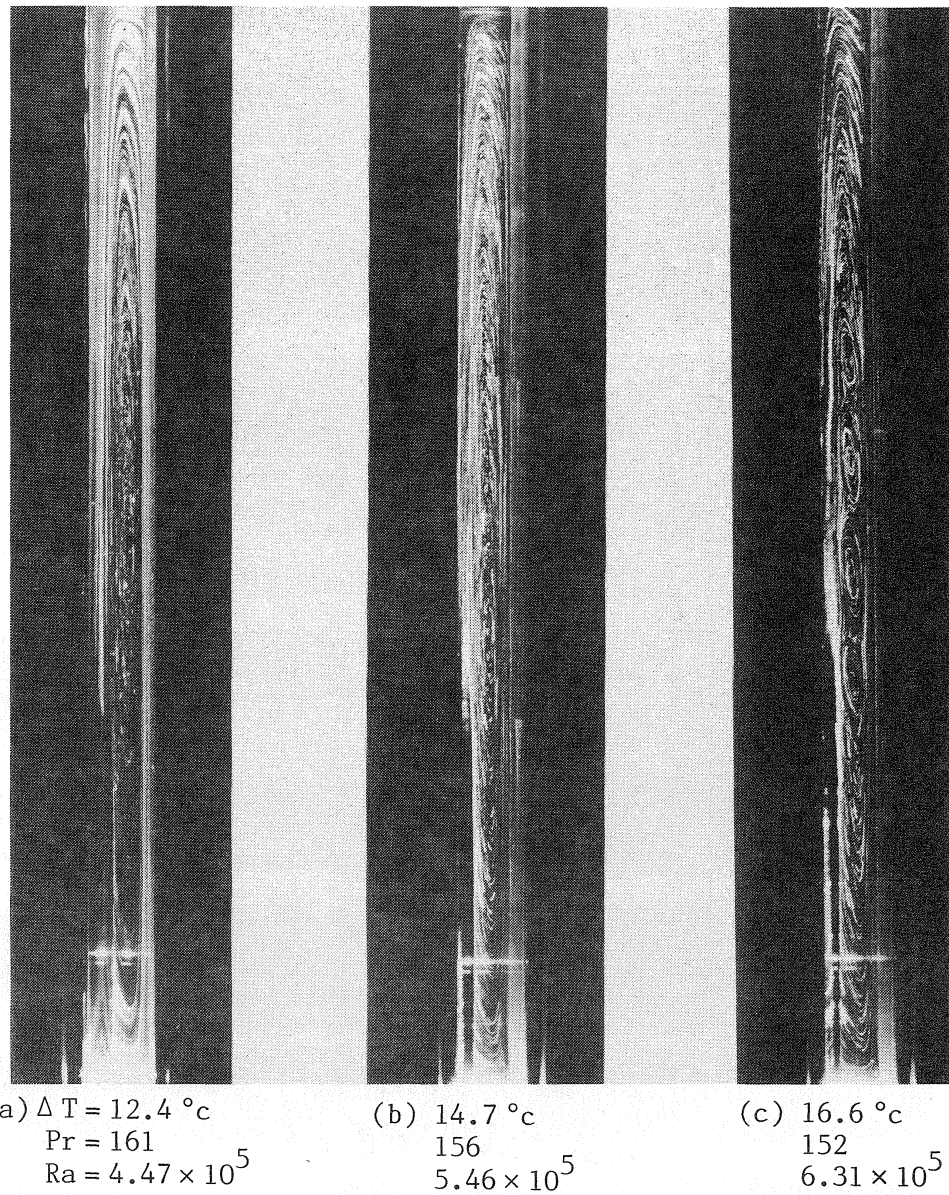


図11 可視化写真（写真的左側が高温壁）

また、図11(c)の渦の間隔は約 $1.7d$ と求められる。一方、線形理論の予測では、臨界波数 $\alpha_c \approx 3.9$ であるので、渦の間隔は約 $1.6d$ となる。臨界状態近傍での実験と理論は比較的よく一致している。

さらに Ra 数を増加させた時 ($\text{Ra} \approx 3\text{Ra}_c$) の可視化写真を図

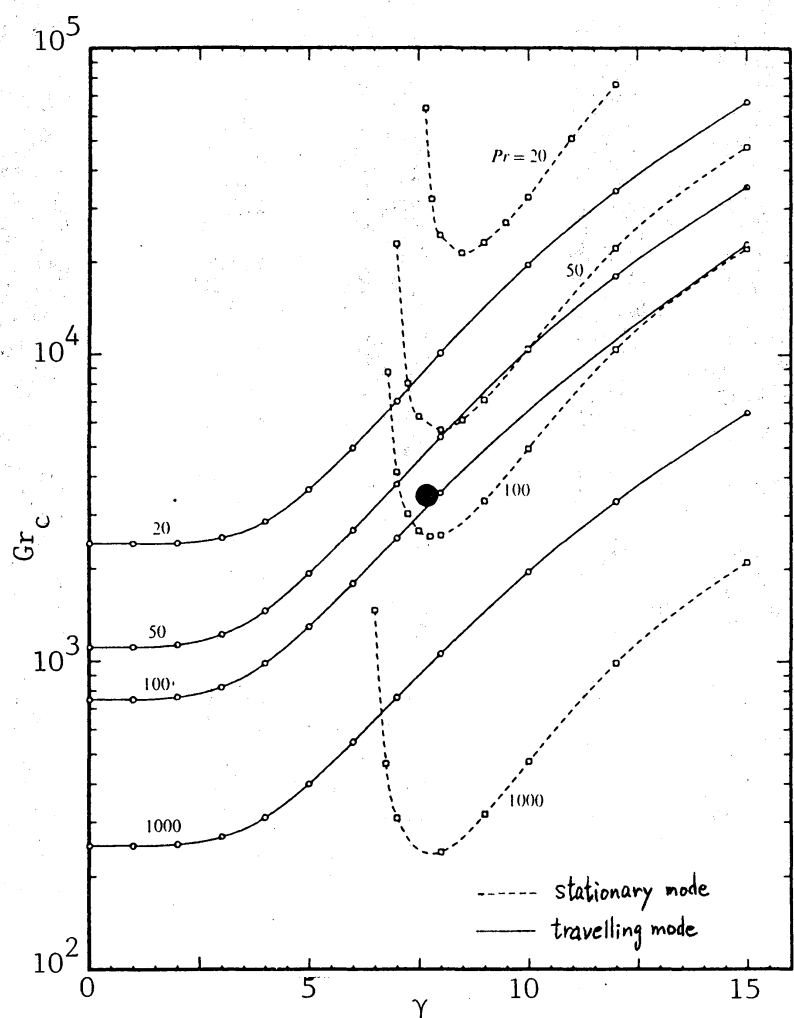


図12 臨界 Grashof 数（実線と破線は Bergholtz 1978 の結果）

13に示す。(a)～(f)は1分間隔で撮影したもののである。高温壁近傍(左側)では流体の大きな屈折率のために、写真是不明瞭となつてゐる。

図の(a)～(f)は8個の渦が見られ、そのうち中央部のものは、先の図11の渦よりもかなり大きい。(a)から(b)において、上下端から2つの渦が共にそれぞれ3つ目の渦とmergingを起

(f)

(e)

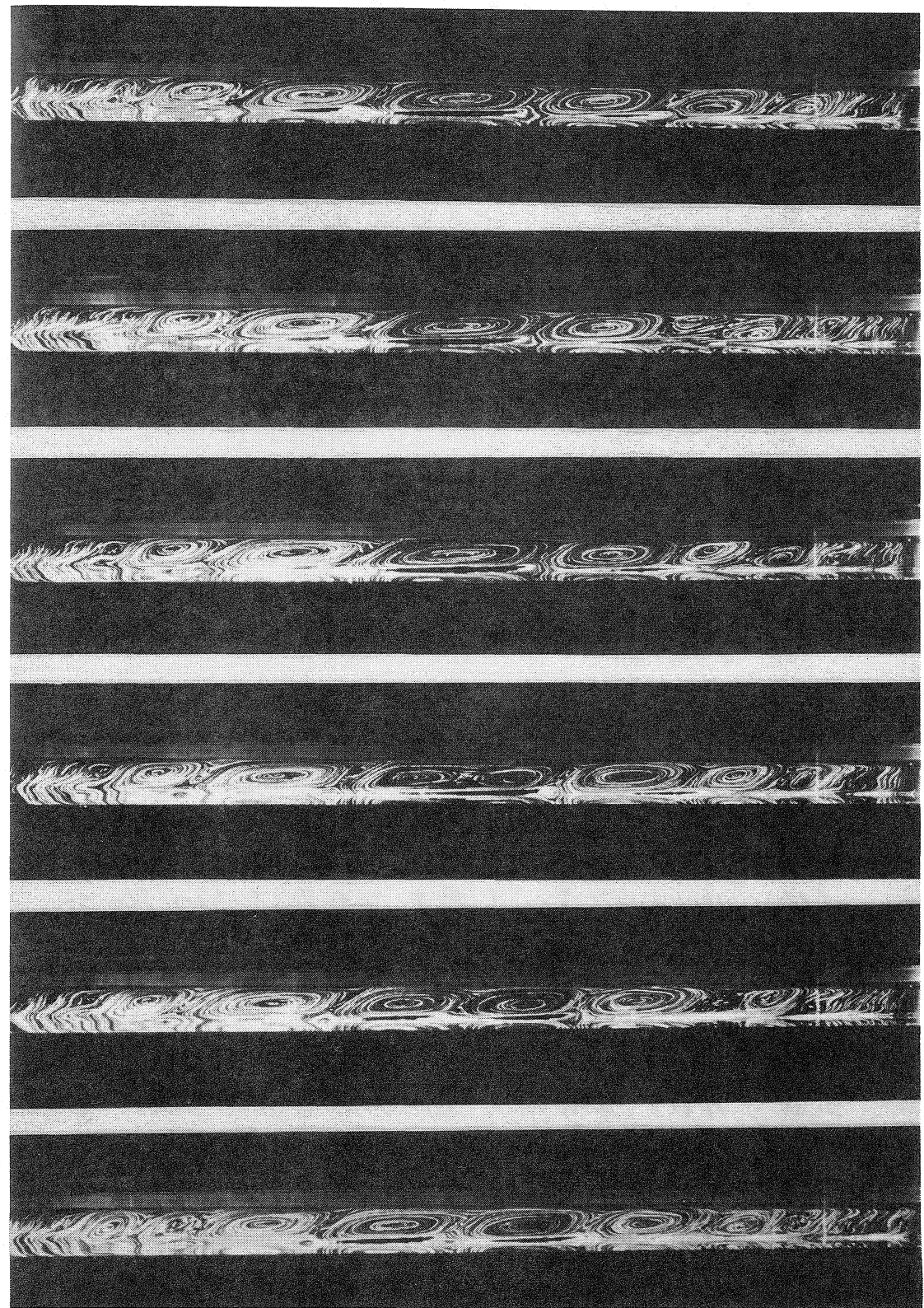
(d)

(c)

(b)

(a)

図 13 可視化写真（連続写真）
 $\Delta T = 33.3^{\circ}\text{C}$
 $\text{Pr} = 126$
 $\text{Ra} = 1.54 \times 10^6$



としている。次に(c), (d)で中央部の渦合は2個の渦が merging を起こしているのが明瞭に観察できる。この時、スロット下端から新たに小さな渦が発生している。鉛直流体層におけるシク渦の merging は、後のレンズ数値計算では見出されていない現象である（例えば、Lee と Korpela, 1983）。

先に述べた温度振動はこの渦の merging に起因した非定常持続性であることは、周期から考えても疑いのないことである。本実験結果のように $Ra \leq 4Ra_c$ では、travelling mode の擾乱はまだ被出されなかった。線形安定理論の予測ではすでにその擾乱に対して流れは不安定となる。このことは、stationary mode の擾乱による travelling mode の擾乱の成長抑制により、効果が存在するとする Gotoh と Mizushima (1984) の非線形理論の妥当性を支持しているものと考えられる。

なお、Elder (1965a) によると見出された tertiary flow は、ここで可視化実験では明らかには、ではない。Pr 数の違いがその原因とも考えられますが、ヨリしたことは言えない。

その後、流体の Pr 数、流体層の aspect 比を変化させて超臨界状態での実験を行い、ここで示した渦の merging が鉛直流体層の対流に本質的な現象かどうかを見極めるとともに、さらに高い Ra 数で起こるであろうカオスへの移行と流れ場の構造との関係を明らかにした。

参考文献

- Bergholz, R. F. 1978 J. Fluid Mech. 84, 743-768.
- Chen, C. F. & Thangam, S. 1985 J. Fluid Mech. 161, 161-173.
- Eckert, E. R. G. & Carlson, W. O. 1961 Intl J. Heat Mass Transfer 2, 106-120.
- Elder, J. W. 1965a J. Fluid Mech. 23, 77-98.
- Elder, J. W. 1965b J. Fluid Mech. 23, 99-111.
- Gollub, J. P. & Benson, S. V. 1980 J. Fluid Mech. 100, 449-470.
- Gotoh, K. & Mizushima, J. 1984 In *Turbulence and Chaotic Phenomena in Fluids* (ed. T. Tatsumi) p.47-52, North-Holland.
- Hart, J. E. 1971 J. Fluid Mech. 47, 547-576.
- Mizushima, J. & Gotoh, K. 1976 J. Fluid Mech. 73, 65-75.
- Oshima, Y. 1971 J. Phys. Soc. Jpn 30, 872-882.